

سنگنگاری، کانه‌نگاری، ژئوشیمی و محاسبه تغییرات جرم عناصر طی فرایند دگرسانی گرمابی در کانسار اسکارن آهن اسپید (غرب قم)

نیما رحیمی^(۱)، حسن میرنژاد^(۲)، مریم شبیبی^(۳)، محمدحسن کرمیان^(۴) و علیرضا حسینیان^(۵)

۱. دانشجوی کارشناسی ارشد زمین‌شناسی اقتصادی، دانشکده زمین‌شناسی، دانشگاه تهران
۲. دانشیار گروه زمین‌شناسی، دانشکده علوم زمین، دانشگاه تهران
۳. استادیار گروه زمین‌شناسی، دانشکده علوم زمین، دانشگاه صنعتی شاهزاد
۴. دانشجوی کارشناسی ارشد زمین‌شناسی اقتصادی، دانشکده زمین‌شناسی، دانشگاه تهران

تاریخ دریافت: ۹۷/۰۱/۲۰

تاریخ پذیرش: ۹۷/۰۶/۲۶

چکیده

کانسار آهن اسپید در کمان ماقمایی ارومیه-دخترو در غرب شهرستان قم قرار گرفته است. توده نفوذی سنگ میزبان این کانسار دارای طیف ترکیبی از دیوریت، کوارتزدیوریت تا مونزودیوریت است که تحت تأثیر نفوذ سیالات گرمابی دچار دگرسانی شده است. مهم‌ترین کانه موجود در این کانسار، هماتیت اولیه (الیزیست) است که همراه با پیریت، لیمونیت، گوتیت، مالاکیت و آزویریت دیده می‌شود. از جمله دگرسانی‌های قابل مشاهده در این کانسار می‌توان انواع پروپیلیتیک و آرژیلیک را نام برد که توسط کانی‌های شاخص این دگرسانی‌ها از جمله کلریت، اپیدوت، کربنات، تیتانیت، کانی‌های رسی و سریسیت شناسایی شده است. به منظور بررسی رفتار عناصر و محاسبه تغییرات جرم طی فرایندهای دگرسانی گرمابی در کانسار آهن اسپید از روش ایزوکن گرانت استفاده شده است. محاسبات تغییرات جرم نشان می‌دهد که در حین دگرسانی پروپیلیتیک، اکسیدهای Fe_2O_3 ، K_2O ، MgO ، P_2O_5 و LOI دچار غنی‌شدنگی و اکسیدهای TiO_2 ، Na_2O و SiO_2 دچارت‌هی شدگی شده‌اند. همچنین طی دگرسانی آرژیلیک نیز اکسیدهای Fe_2O_3 ، K_2O ، SiO_2 ، Na_2O و P_2O_5 به سیستم دگرسانی وارد و در مقابل اکسیدهای TiO_2 ، Na_2O ، CaO ، MgO و LOI از سامانه گرمابی خارج شده‌اند. تهی شدگی عناصر در زون پروپیلیتیک نشان‌دهنده تجزیه کانی‌های اولیه سنگ میزبان، وجود محلول‌های غنی از CO_2 و افزایش نسبت سیال به سنگ طی توسعه سیستم دگرسانی است. در زون آرژیلیک نیز افزایش Na^+ می‌تواند ناشی از اسیدی شدن پلاژیوکلازها و آلبیتی شدن آن‌ها باشد و کاهش اکسیدهای Fe_2O_3 و MgO نیز ناشی از دگرسان شدن کانی‌های فرومنیزین از جمله آمفیبیول و آزاد شدن Fe^{2+} در محلول‌های دگرسان کننده و خروج از محیط باشد. مقادیر شاخص شیمیابی دگرسانی محاسبه شده برای زون دگرسانی پروپیلیتیک و آرژیلیک به ترتیب برابر با ۵۸/۷۶ و ۵۵/۹۴ درصد می‌باشد که حاکی از شدت بیشتر دگرسانی پروپیلیتیک در کانسار اسپید است.

واژه‌های کلیدی: آرژیلیک، پروپیلیتیک، تغییرات جرم، دگرسانی گرمابی، کانسار آهن اسپید

مقدمه

میزان ماده معدنی تهیه و مورد مطالعه قرار گرفتند. همچنین تعداد شش نمونه (سه نمونه دارای دگرسانی پروپیلیتیک و سه نمونه دارای دگرسانی آرژیلیک) به روش پراش اشعه ایکس (XRD) مورد بررسی قرار گرفتند. همچنین بهمنظور انجام مطالعات ژئوشیمی و بررسی تغییرات جرم عناصر طی دگرسانی پروپیلیتیک و آرژیلیک، تعداد ۱۶ نمونه (هشت نمونه سالم، چهار نمونه دارای دگرسانی پروپیلیتیک و چهار نمونه دارای دگرسانی آرژیلیک) برای انجام تجزیه شیمیایی به روش فلورسانس اشعه ایکس (XRF) و طیفسنج جرمی پلاسمایی جفت شده القابی (ICP-MS) به ترتیب برای تعیین غلظت عناصر اصلی و کمیاب به آزمایشگاه شیمی مرکز تحقیقات فرآوری مواد معدنی ایران ارسال شده. حد تشخیص دستگاه برای آنالیز اکسیدهای اصلی 0.1 ppm درصد و برای عناصر فرعی و کمیاب 0.01 ppm بوده است. نتایج این آنالیزها در جدول ۱ ارائه شده است. لازم به توضیح است که برای رسم نمودارهای ژئوشیمی تنها از نمونه‌های سالم استفاده شده و از نمونه‌های دگرسان جهت بررسی تغییرات جرم عناصر در این کانسار استفاده شده است.

زمین‌شناسی منطقه مورد مطالعه

محدوده معدنی اسپید در حاشیه شرقی کمان مآگمایی ارومیه-دختر و در جنوب ورقه ۱:۱۰۰۰۰۰ تقریباً (حاجیان، ۱۳۷۰) واقع شده است. بر اساس تقسیم‌بندی پهنه‌های ساختاری-رسوبی ایران، این کانسار در کمان مآگمایی ارومیه-دختر و در مزرز بین توده نفوذی و سنگ‌های آتش‌فشانی اتوسون بالایی واقع شده است.

برخی از محققین فعالیت آتش‌فشانی این کمان مآگمایی را به فرورانش نئوتیتیس به زیر ایران مرکزی نسبت می‌دهند (Takin, 1971; Jung et al., 1975) و عده‌ای نیز آن را ناشی از گسیختگی پوسته در امتداد کافت‌های درون قاره‌ای می‌دانند (Amidi, 1975; Emami, 1981). این کمریند مآگمایی به علت اینکه در اثر تحولات ناشی از بسته شدن اقیانوس آلبی نئوتیتیس حاصل شده و یا به عبارتی حاصل هضم پوسته اقیانوسی نئوتیتیس به زیر پوسته قاره‌ای است (Forster,

علاوه بر استفاده از ژئوشیمی به عنوان یک ابزار جهت تشخیص نام و محیط تکتونیکی انواع سنگ‌ها، از ژئوشیمی برای تفسیر سنگ‌هایی که دستخوش تغییرات متاسوماتیک شده‌اند نیز استفاده می‌شود. در واقع ترکیب شیمیایی سنگ‌های دگرسان شده، معکوس‌کننده تغییرات شیمیایی و ترکیبی رخ داده در انواع دگرسانی‌ها می‌باشد که به درک Gifkins et al., 2005) . الگوهای تغییرات متاسوماتیک عمولاً در اکتشاف مواد معدنی برای تعیین هاله‌های شیمیایی و یافتن روندهای شیمیایی در مناطق کانه‌زایی مورد استفاده قرار می‌گیرد (Gifkins et al., 2005) . محققان بسیاری در سطح جهان برای یافتن رابطه دگرسانی با کانه‌زایی و تعیین روند کانه‌زایی و اکتشاف مواد معدنی در کانسارهای مختلف از روش موازنۀ جرم (Mass-Balance) استفاده نموده‌اند که ازجمله این Ling et al., 2014; Monteiro et al., 2007; Mote et al., 2001 اشاره کرد. تغییرات ژئوشیمیایی متاسوماتیک نه تنها به تشخیص اهداف معدنی و کانه‌زایی کمک می‌کند بلکه به توسعه بهتر مدل‌های ژنتیکی و تمایز بهتر بین انواع مدل‌های کانساری نیز کمک می‌کند (White and Hedenquist, 1995) . بدین منظور در این مقاله سعی بر این است تا با استفاده از روش بررسی تغییرات جرم عناصر و داده‌های ژئوشیمی نمونه‌های برداشت شده از زون‌های دگرسان و همچنین مطالعات سنگ‌نگاری و کانی‌شناسی زون‌های دگرسانی و کانه‌نگاری ماده معدنی، به چگونگی ارتباط کانه‌زایی آهن با دگرسانی‌های مشاهده شده در این کانسار و روندهای کانه‌زایی آهن ببرد.

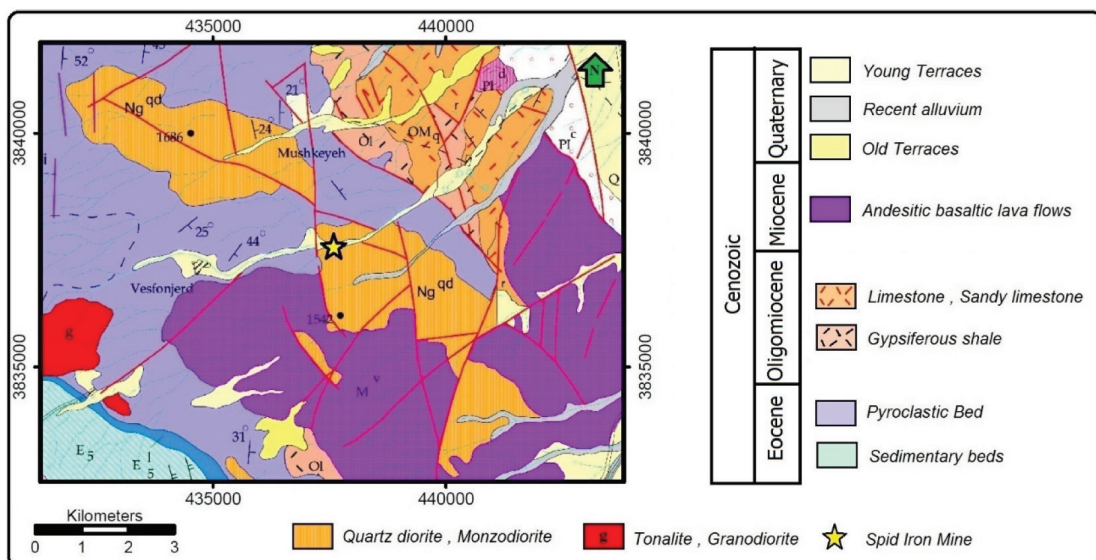
روش مطالعه

در راستای دستیابی به اهداف موردنظر طی چندین مرحله پیمایش صحرابی، نمونه‌برداری سیستماتیک از زون‌های دگرسانی، توده نفوذی سنگ میزان و بخش کانه‌زایی کانسار آهن اسپید انجام شد. درمجموع تعداد ۵۰ عدد مقطع نازک و ۱۰ عدد مقطع نازک-صیقلی برای مطالعه بافت و ساخت ماده معدنی و سنگ‌شناسی توده نفوذی سنگ

سن عمومی واحدهای سنگی رخمنون یافته در این منطقه مربوط به دوران سوم زمین‌شناسی و عمدتاً آئوسن و الیگوسن می‌باشد (حاجیان، ۱۳۷۰). همان‌طور که در نقشه زمین‌شناسی کانسار اسپید (شکل ۱) مشاهده می‌شود در این منطقه توده نفوذی با ترکیب دیوریت، کوارتز دیوریت تا مونزوزدیوریت به درون سنگ‌های آتش‌فشاری آئوسن نفوذ کرده و با ایجاد دگرسانی گسترده باعث شکل‌گیری کانسار اسکارن آهن شده است. در محل تماس این توده نفوذی با سنگ‌های آتش‌فشاری آئوسن (عدمتأً با ترکیب توفهای آهکی) کانه‌زایی آهن به صورت هماتیت اولیه (الیثیست) و هیدروکسیدهای آهن (لیمونیت و گوتیت) تشکیل شده است (کرمیان، ۱۳۹۴). توده نفوذی و سنگ‌های مجاور آن دگرسانی گسترده‌ای از نوع پروپیلیتیک و به طور جزئی تر دگرسانی آرژیلیک را تجربه کرده‌اند. عده‌گسل‌های موجود در منطقه دارای روند شمال شرقی-جنوب غربی و شرقی-غربی هستند (حاجیان، ۱۳۷۰). نکته قابل توجه این شکستگی‌ها و گسل‌ها با توده نفوذی مرتبط با کانه‌زایی می‌باشد که به نظر می‌رسد توده نفوذی از طریق برخی از این گسل‌ها نفوذ کرده و باعث ایجاد کانه‌زایی شده است.

(1978; Haschke et al., 2010; Shahabpour, 1999 میزبان کانسارهای مختلفی از جمله مس، آهن، طلا، مولیبدن و ... است که کانسار آهن مورد مطالعه هم جزء یکی از این کانسارها است. وجود کانسارهای متعدد در این زون ماقمایی ضرورت بی‌جویی و اکتشاف در این منطقه را توجیه می‌کند. از دیدگاه ژئوشیمیایی و پترولوجیک، بر روی این توده و توده‌های مجاور و سنگ‌های آتش‌فشاری و آتش‌فشاری رسوبی میزبان در این کمان ماقمایی، مطالعات بسیاری انجام شده است که برخی از این مطالعات شامل Ghorbani et al., 2011 and 2014; Dargahi et al., 2010; Yeganehfar et al., 2013, Chiu et al., 2013; Honarmand et al., 2013 and 2014; Kananian et al., 2014 است.

کانسار اسپید در فاصله ۶۰ کیلومتری غرب قم، در جنوب روستای اسپید و در گستره جغرافیایی "۴۴° ۱۸' ۵۰" تا "۳۹° ۱۲' ۳۴" طول شرقی و "۱۷° ۱۰' ۵۰" تا "۱۷° ۱۲' ۳۴" عرض شمالی واقع شده است. در این کانسار بر اثر نفوذ توده دیوریتی به درون واحد آتش‌فشاری آئوسن، دگرسانی گسترده و به دنبال آن کانه‌زایی آهن شکل گرفته است. به طور کلی



شکل ۱. نقشه زمین‌شناسی منطقه مورد مطالعه که موقعیت کانسار آهن اسپید با علامت ستاره بر روی آن مشخص شده است (اقتباس از نقشه ۱/۱۰۰۰۰۰ تفرش)

کلینوکلریت، کلسیت، ارتوکلاز، اپیدوت و مسکوویت را در این زون دگرسانی تأیید می‌کند. در اثر دگرسانی آرژیلیک اغلب پلاژیوکلازها و فلدسپات‌ها به طور بخشی و گاه کامل از حواشی و مرکز بلور به سریسیت (شکل ۲-ح) و کانی‌های رسی (شکل ۲-خ) تبدیل شده‌اند و رنگی روشن به رخمنون واحدهای سنگی منطقه داده‌اند. نتایج حاصل از آنالیز XRD نیز وجود کانی‌های ایلیت، کائولینیت و کلریت را در این زون دگرسانی تأیید می‌کند.

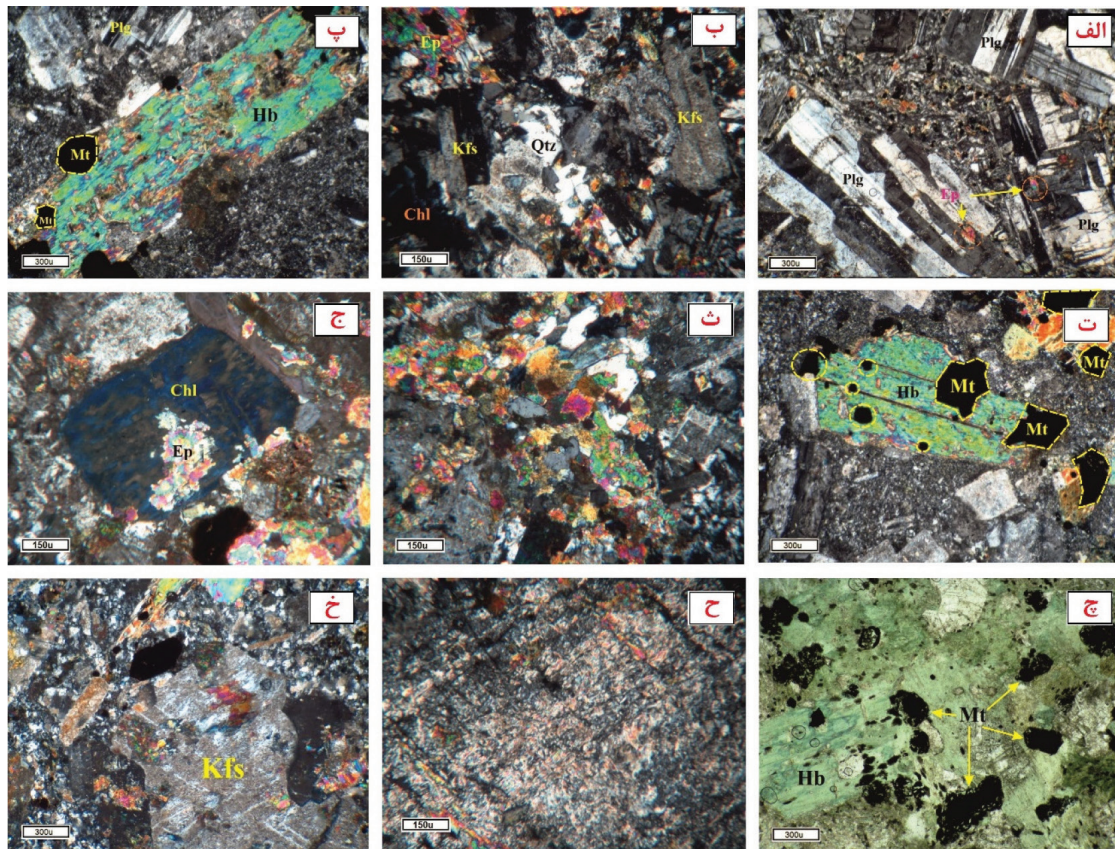
کانه‌زایی، ساخت و بافت ماده معدنی

در منطقه اسپید عامل اصلی کانه‌زایی، دگرسانی هیدروترمال ناشی از نفوذ توده نیمه عمیق به درون واحدهای آتش‌فشانی و عملکرد شدید گسل‌ها و نیروهای تکتونیکی می‌باشد که باعث به وجود آمدن درزه، شکستگی و رگه‌رگچه در اکثر واحدهای سنگی شده‌اند و این ساختارها معبری برای حرکت و نفوذ محلول‌های حاوی آهن مهیا کرده‌اند که در نهایت منجر به تمرکز و افزایش عیار اقتصادی ماده معدنی به صورت رگه‌ای در مرز بین توده نفوذی و توفهای آهکی اؤسن شده است (شکل ۳-الف). ضخامت رگه معدنی در این کانسار از ۴ تا ۱۲ متر متغیر می‌باشد (شکل ۳-ب). کانی‌شناسی ماده معدنی شامل هماتیت اولیه (الیزیست) و کانی‌های ثانویه مالاکیت، آزوریت، لیمونیت و گوتیت است که با کانی‌های باطله کلریت، پیریت و کوارتز همراه هستند. هماتیت: این کانه اسپیدی فراوان‌ترین کانه موجود در کانسار اسپید است که به صورت پولکی و نرم در نمونه دستی قابل مشاهده است (شکل ۳-پ). هماتیت عمدتاً دارای بافت‌های متنوعی چون دسته جاروبی به صورت رشته‌های درهم‌تنیده و متراکم است (شکل ۳-ت). بخش‌های هماتیتی یکدست کانسار دارای عیار متوسط آهن ۶۴ درصد و بخش‌های مخلوط هماتیت و لیمونیت دارای عیار آهن ۴۰ درصد می‌باشد (سعادتمدن، ۱۳۹۰).

گوتیت و لیمونیت: گوتیت و لیمونیت حاصل دگرسانی کانه‌های هماتیت و پیریت هستند. این کانه‌های اسپیدی جز پایدارترین کانه‌های آهن‌دار در طبیعت هستند و به طور کلی از طریق اسپیداسانیون هماتیت و یا سولفید آهن به وجود آمده‌اند. این کانه‌ها همراه با هماتیت در کانسار آهن اسپید قابل مشاهده هستند (شکل ۳-ث).

سنگ‌شناسی و دگرسانی

بر اساس مطالعات میکروسکوپی، توده نفوذی سنگ میزبان کانسار آهن اسپید دارای ترکیب دیوریت، کوارترز دیوریت تا مونزودیوریت می‌باشد که عمدتاً دارای بافت‌های گرانولار، ساب گرانولار و پورفیروئیدی است. پلاژیوکلاز و آمفیبیول مهم‌ترین کانی‌های اصلی و فلدسپار پتانسیم، کوارتز، منیتیت، آپاتیت، زیرکن و تیتانیت کانی‌های فرعی تشکیل دهنده این توده نفوذی هستند. کانی‌های رسی سریسیت، کلریت، اپیدوت، تیتانیت، کلسیت، کانی‌های رسی از جمله ایلیت و کائولینیت و اسپیدهای آهن نیز به صورت ثانویه و در اثر دگرسانی تشکیل شده‌اند. پلاژیوکلاز به صورت تخته‌ای، شکل دار تا نیمه شکل دار و همراه با ماکل کارلسپاد، آلبیتی و پلی‌سنتیک دیده می‌شود (شکل ۲-الف) دانه‌های کوارترز عمدتاً بی‌شکل‌اند و در اغلب موارد فضای بین بلورهای درشت پلاژیوکلازها و آلكالی فلدسپارها را پرکرده‌اند (شکل ۲-ب). آمفیبیول تنها کانی مافیک موجود در این توده نفوذی می‌باشد که حدود ۱۰ درصد حجمی سنگ را شامل می‌شود (شکل ۲-پ). وجود درشت بلورهای آمفیبیول در این توده می‌تواند دلیلی بر ماهیت آبدار ماقماتیسم و احتمالاً نشانه شکل‌گیری سنگ‌ها در کمان ماقمایی باشد (Poma et al., 2004). همراه با کانی آمفیبیول، منیتیت‌های خود شکل و ماقمایی حضور دارند (شکل ۲-ت). بر پایه مشاهدات صحرابی، مطالعات پتروگرافی و نتایج حاصل از آنالیز XRD دگرسانی وسیعی سنگ‌های منطقه اسپید را در بر گرفته است که می‌توان آن را به دو بخش دگرسانی پروپیلیتیک و آرژیلیک تقسیم کرد. دگرسانی پروپیلیتیک با حضور کانی‌هایی از قبیل اپیدوت، کلریت، تیتانیت، کربنات و آلبیت و به صورت فرآگیر در کل محدوده معدنی اسپید قابل تشخیص می‌باشد. این دگرسانی غالباً با کانه‌زایی اسپیدهای آهن از جمله هماتیت همراه است. در اثر این دگرسانی، پلاژیوکلازها به اپیدوت (شکل ۲-ث) و کانی‌های مافیک از جمله آمفیبیول به کلریت (شکل ۲-ج) تبدیل شده‌اند؛ کانی‌های منیتیت ثانویه یا حاصل از دگرسانی (شکل ۲-چ) نیز در برخی از نمونه‌ها قابل مشاهده است. نتایج حاصل از آنالیز XRD وجود کانی‌های کوارتز، آلبیت،



شکل ۲. تصاویر میکروسکوپی از توده نفوذی سنگ میزان کانسار آهن اسپید. (الف) پلاژیولاز (Plg) با بافت پلی‌سننتیک در واحد دیوریتی، ب) بلورهای کوارتز (Qtz) در شکل و آکالی فلدسپار (Kfs) در واحد مونزودیبوریتی، پ) بلور هورنبلند (Hb) در همراهی با کانی پلاژیولاز، ت) همراهی دانه‌های منیتیت (Mt) با کانی آمفیبیول در واحد دیوریتی، ث) تشکیل اپیدوت (Ep) حاصل از دگرسانی پروپریلیتیک در واحد مونزودیبوریتی، ج) جایگزینی کامل کلریت (Chl) در قالب آمفیبیول در واحد مونزودیبوریتی، چ) کانی منیتیت (Mt) ثانویه حاصل از دگرسانی پروپریلیتیک، خ) سریسیتی شدن پلاژیولازها، خ) رسی شدن آکالی فلدسپارها (Kfs) در اثر دگرسانی آرژیلیک. حروف اختصاری کانی‌ها از (Kretz, 1994)

جدول ۱. غلطت عناصر اصلی (درصد وزنی) و کمیاب (بخش در میلیون) در سنگ‌های نفوذی میزان کانسار آهن اسپید

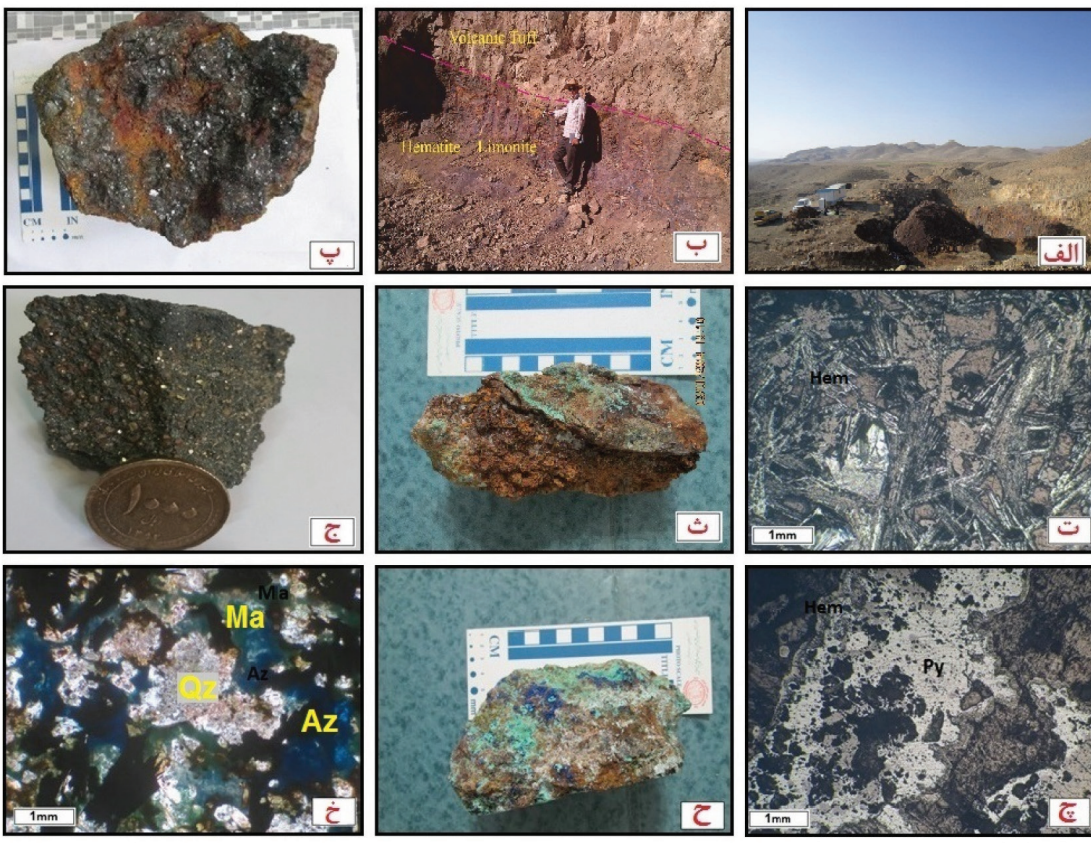
Sample	Monzonodiorite rocks						Diorite & Quartz diorite rocks					
	Propylitic Alteration			Unaltered rocks			Argillic Alteration					
	%Wt											
SN01	57/16	57/26	57/26	55/95	60/63	66/14	60/48	63/38	57/84	59/1	58/73	59/8
SN02	17/32	16/6	15/26	15/83	15/75	15/11	14/35	15/75	15/59	15/6	15/84	14/47
SN03	4/72	6/49	8/2	7	5/75	5/29	6/3	6/7	12/41	10/53	6/67	5/34
SN08	3/35	2/64	3/02	4	2/47	1/87	2/91	2/29	2/68	3/12	2/77	2/64
SN09	9/64	9/05	8/72	8/4	8/51	4/43	6/64	4/9	3/61	5/41	8/12	7/43
SN10	0/64	0/04	0/56	0/7	0/58	0/51	0/47	0/54	0/81	0/93	0/42	0/95
SN11	1/78	1/3	1/44	2/5	1/06	1/02	1/79	1/42	0/84	0/43	1/7	3/77
SN12	2/36	3/05	2/04	2/87	2/42	2/06	2/64	1/59	1/69	2/4	2/09	1/64
SN13	100/01	99/69	100	99/72	100/02	99/71	99/67	100	99/32	99/9	99/7	100/01
SN15												
SN16												
SN18												
SN14												
SN17												
SN19												
SN20												
Total	100/01	99/69	100	99/72	100/02	99/71	99/67	100	99/32	99/9	99/7	100/03

ادامه جدول ۱.

Sample	Monzodiorite rocks										Diorite & Quartz diorite rocks								
	Propylitic Alteration					Unaltered rocks					Argillic Alteration								
	SN01	SN02	SN03	SN08	SN09	SN10	SN11	SN12	SN13	SN15	SN16	SN18	SN14	SN17	SN19	SN20			
ppm																			
Ba	627	582	381	557	202	341	341	357	277	173	557	613	432	181	495	1372			
Ce	24	24	22	26	22	28	23	23	26	23	26	35	26	29	25	31			
Co	25/6	18/2	18/3	18/5	16/2	24/1	14/9	13/9	13/5	12/8	12/3	15/2	11/9	12/8	17	12/3			
Cr	7	6	6	11	6	15	6	7	13	16	7	5	11	6	5	7			
Cs	0/6	0/7	0/5	0/9	1/5	0/6	0/5>	0/9	0/8	0/6	0/5>	0/5>	0/5>	0/5>	0/5>	0/5>	0/5>		
Cu	39	16	22	17	8	10	5	8	12	7	9	24	15	6	4	21			
Dy	2/59	2/47	2/52	3/15	2/64	2/51	2/66	2/58	2/96	2/91	2/56	2/13	2/95	3/04	2/19	2/25			
Er	1/55	1/38	1/49	1/74	1/52	1/38	1/54	1/39	1/77	1/68	1/47	1/9	1/71	1/87	1/16	1/19			
Eu	0/88	0/82	0/84	1/26	0/7	0/82	0/7	0/84	0/88	0/82	0/83	1/6	0/92	0/87	0/77	1/04			
Gd	2/12	1/99	2/05	2/6	2/04	2/19	1/98	2/02	2/26	2/24	2/04	2/53	2/21	2/42	2/04	2/01			
Hf	0/92	0/95	1/25	0/83	0/79	0/65	0/88	0/62	0/98	0/93	0/94	1/31	0/86	1/47	0/68	0/72			
K	12868	11557	7677	12221	3665	4382	6916	6617	4802	2289	8198	15450	9184	3326	12620	22226			
La	10	10	10	11	10	12	10	10	10	9	10	15	11	13	11	11			
Lu	0/19	0/19	0/22	0/21	0/19	0/17	0/19	0/18	0/23	0/22	0/19	0/26	0/18	0/27	0/16	0/16			
Mn	1494	1411	1399	1735	987	864	1626	898	874	731	1097	1054	936	1040	862	1439			
Nb	0/2	0/2	0	4/8	0/1	6	0/3	0/9	0	4/5	0/2	6/7	0/2	6/5	0/4	6/2			
Nd	99	8/9	9/5	11/8	9/6	12/5	8/8	9/8	9/8	10	9/3	14/6	10/4	13	11	10/8			
Ni	11	1	1	5	2	7	1	4	7	9	1	15	4	2	15	15			
Pb	10	6	6	22	3	15	8	3	9	15	21	11	7	5	15	15			
Pr	1/22	1/12	1/29	1/66	1/25	2/04	1/07	1/29	1/16	1/25	1/1	2/61	1/42	2/23	1/63	1/55			
Rb	25	23	16	27	8	10	17	15	11	6	20	41	22	7	34	56			
Sc	10	11/1	11/4	14/6	10/1	7/2	10/7	9	14/3	15/8	11/5	8/5	10/5	7/5	5/4	5/7			
Sm	2/36	2/07	2/1	2/89	2/11	2/54	2/05	2/19	2/34	2/29	2/13	2/97	2/44	2/66	2/29	2/62			
Sn	1	3/3	2	4/1	2/9	3/6	4	2	2/3	4/2	2/8	2/4	8/5	3/9	1/5	3/5			
Sr	366/2	364/7	329/8	361	397/7	3288/4	400/7	415/5	440/5	379/9	435/5	301/2	415/4	333/5	271	349/4			
Ta	0/58	0/56	0/52	0/54	0/55	0/64	0/6	0/6	0/65	0/51	0/52	0/81	0/55	0/6	0/53	0/63			
Tb	0/43	0/4	0/43	0/49	0/43	0/41	0/42	0/41	0/47	0/46	0/42	0/5	0/46	0/46	0/38	0/38			
Th	1/49	1/72	2/03	2/08	2/42	2/91	2/5	1/9	1/89	1/77	1/97	6/86	2/54	6/76	2/81	1/11			
Ti	3968	4121	4177	4766	3871	2692	4152	3340	4592	4934	4043	3975	3896	3845	238	2816			
Tm	0/23	0/23	0/25	0/27	0/22	0/22	0/25	0/23	0/26	0/27	0/23	0/3	0/24	0/3	0/18	0/19			
U	0/3	0/48	0/5	0/5	0/5	0/6	0/6	0/4	0/7	0/5	0/4	1/6	0/6	1/5	0/5	0/3			
V	116	110	113	136	107	60	114	78	129	151	110	94	102	87	46	66			
W	68/9	48/8	33/5	46/5	44/6	10/28	37/1	48	48/8	34/7	44/6	37/5	44/3	49/9	80/1	34/3			
Y	15/3	14/3	14/7	16/7	14/6	14/2	15/6	14/9	15/5	15/5	14/2	17/5	16/3	16/2	11/7	12/8			
Yb	1/6	1/5	1/6	1/7	1/4	1/2	1/6	1/4	1/6	1/7	1/4	1/9	1/4	1/7	1	1/2			
Zn	126	111	94	143	48	79	90	58	68	41	138	170	71	58	66	102			
Zr	32	32	40	31	30	19	33	19	32	26	27	43	27	41	17	24			

-۳).

پیریت: به طور کلی فاز سولفیدی در کانسار اسپید در مناطق سطحی بسیار محدود است و پیریت‌های مشاهده شده رایج‌ترین کانه سولفیدی در این کانسار هستند و به صورت پراکنده در توف‌های منطقه نیز دیده می‌شوند (شکل ۳-ج) و در رگه‌های معدنی به علت اکسید شدن قابل تشخیص نیستند. در مقیاس میکروسکوپی پیریت‌ها بی‌شکل بوده و در حواشی به هم‌اتیت تبدیل شده‌اند (شکل



شکل ۳. تصاویری از کانسار آهن اسپید و کانه‌زنی‌های مختلف در آن. (الف) نمایی از کانسار آهن اسپید (دید به سمت شمال غرب)، (ب) نمایی از رگه معدنی هماتیتی در سینه کار اکتشافی کانسار اسپید، (ب) نمونه دستی از کانه اکسیدی شامل هماتیت، لیمونیت و گوتیت، (ت) ساختار تیغه‌ای شکل هماتیت (Hem) در نور انعکاسی، (ث) نمونه دستی از کانه اکسیدی لیمونیت، (ج) نمونه دستی از کانه سولفیدی پیریت دانه‌ریز، (ج) تبدیل شدن پیریت (Py) از حاشیه به هماتیت (Hem) در نور انعکاسی، (ح) نمونه دستی از مالاکیت و آزوریت، (خ) همراهی مالاکیت (Ma) و آزوریت (Az) در نور انعکاسی

Irvine and Baragar, 1971)

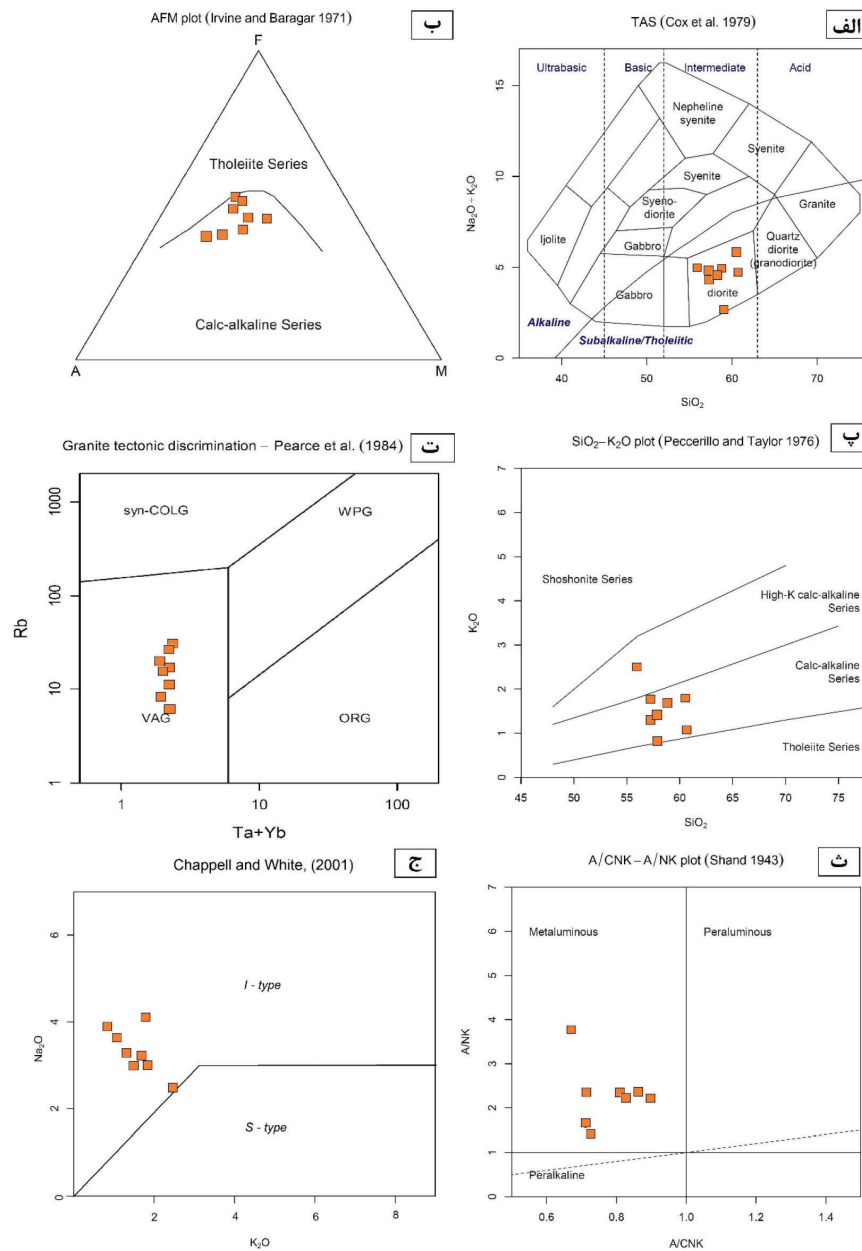
استفاده شد که طبق این نمودار توده مذکور در امتداد روند کالک آکالان قرار می‌گیرد (شکل ۴-ب). همچنین نمودار K_2O در مقابل SiO_2 (Peccerillo and Taylor, 1976) نشان دهنده متعلق بودن این توده نفوذی به سنگ‌های آذرین سری کالک آکالان تا کالک آکالان غنی از پتاسیم است (شکل ۴-پ) که بر اساس (Gill, 2010) این سنگ‌ها متعلق به مناطق فروزانش هستند. همچنین در نمودار جدایش محیط زمین ساختی (Pearce et al., 1984) توده سنگ میزبان کانسار اسپید در گستره محیط نوارهای آتش‌فشانی زون فروزانش (VAG) قرار می‌گیرد (شکل ۴-ت). شاخص اشباع از آلومین توده مذکور از ۵/۰ تا ۹/۰ متغیر است. بر اساس نسبت مولی $Al_2O_3/CaO+Na_2O+K_2O$ یا

سنگ میزبان کانسار آهن اسپید

با توجه به اینکه عامل اصلی کانه‌زنی در کانسار آهن اسپید نفوذ توده نیمه عمیق به درون سنگ‌های ولکانیکی اوشن می‌باشد، مطالعات ژئوشیمیایی بر روی نمونه‌های آذرین درونی مرکز شده است. بدین منظور تعداد هشت نمونه با حداقل دگرسانی از واحدهای دیبوریتی و مونزودیبوریتی سنگ میزبان کانسار انتخاب شدند. جهت نام‌گذاری توده نفوذی سنگ میزبان کانسار آهن اسپید از نمودار Cox و He (همکاران ۱۹۷۹) استفاده شده است. بر طبق این نمودار سنگ‌های برداشت شده از این توده نفوذی در محدوده سنگ‌های دیبوریتی با ماهیت حد واسط قرار می‌گیرند (شکل ۴-الف). جهت تفکیک سنگ‌های منطقه ازلحاظ سری‌های ماقمایی از نمودار درصد اکسید منیزیم، آهن کل و آکالان

این معیار، توده نفوذی مذکور از نوع گرانیت‌تئیدهای نوع I می‌باشد. همچنین قرارگیری نمونه‌ها در نمودار Na_2O در مقابل K_2O که مرز گرانیت‌تئیدهای I و S را جدا می‌کند در مقابله (Chappell and White, 2001) ماهیت I بودن این توده نفوذی را تأیید می‌کند (شکل ۴-ج).

شاخص اشباع از آلومنین (ASI) و نمودار ANK-ACNK (Shand, 1943) این توده از نوع متاآلومین است (شکل ۴-ث). شاخص اشباع از آلومنین برای گرانیت‌های نوع S بیشتر از ۱/۱ و برای گرانیت‌های نوع I کمتر از ۱/۱ است (Chappell and White, 2001)؛ بنابراین با توجه به



شکل ۴. نمودارهای رده‌بندی زئوژیمی این توده نفوذی سنگ میزبان کانسار آهن اسپید. (الف) قرارگیری نمونه‌ها در محدوده سنگ‌های حد واسط با ترکیب دیوریت، (ب) متعلق بودن نمونه‌ها به سری کالک آلکالن در نمودار تفکیک سنگ‌های آدرین کالک آلکالن و توئیتی، (پ) متعلق بودن نمونه‌ها به سری کالک آلکالن تا کالک آلکالن غنی از پاتاسیم، (ت) ارتباط سنگ‌های منطقه اسپید با کمریندهای زون فروزانش و همزمان با برخورد، (ث) متعلق بودن نمونه‌ها به سنگ‌های متاآلومینیوس در نمودار شاخص اشباع از آلومنین، (ج) متعلق بودن توده نفوذی سنگ میزبان کانسار اسپید به گرانیت‌تئیدهای نوع I در نمودار تفکیک گرانیت‌تئیدهای نوع I و S

شده‌اند. نمودار ایزوکن عناصر اصلی و کمیاب رسم شده برای زون دگرسانی پروپیلیتیک و آرژیلیک به ترتیب در شکل ۵ الف و ب نشان داده شده است. با نگاهی کلی به این نمودارها می‌توان تغییرات جرم عناصر را در هر زون دگرسانی به صورت کیفی تشخیص داد.

مقادیر کمی تغییرات جرم هر یک از زون‌های دگرسانی در کانسار اسپید طبق رابطه ۲ محاسبه شد و به صورت نمودارهای تهی شدگی-غنى شدگی در شکل‌های ۶ و ۷ نشان داده شده است. در این رابطه S گرادیان خط ایزوکن می‌باشد.

$$\Delta M = [(1/S) - 1] \times 100 \quad (2)$$

در ادامه در هر زون دگرسانی، از میانگین نمونه‌های دگرسان نشده در آن زون به عنوان نمونه شاهد (ترکیب سنگ اولیه) و از Al_2O_3 به عنوان عنصر ناظر نامتحرك استفاده شده است. سپس با استفاده از رابطه گرانت، تغییرات جرم عناصر یا اکسیدها در طول دگرسانی ($\Delta C_i/C_i^0$) در هر زون محاسبه شده با استفاده از روش گرانت، برای نمونه‌های دگرسان کانسار آهن اسپید در جدول ۲ ارائه شده است.

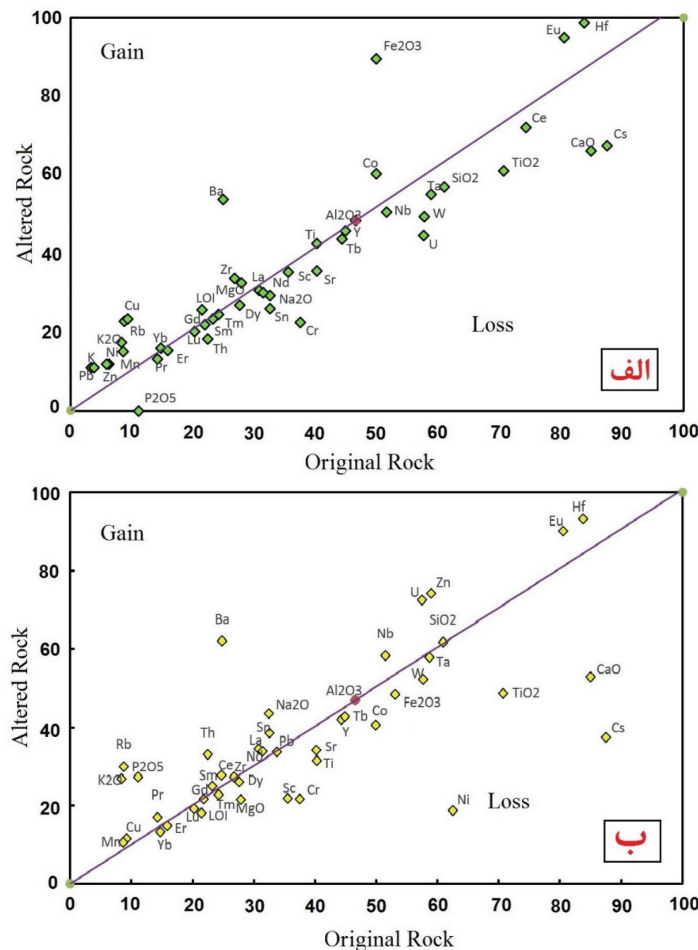
تغییرات جرم عناصر طی دگرسانی پروپیلیتیک
اکسیدهای اصلی: طی دگرسانی پروپیلیتیک اکسیدهای Fe_2O_3 و LOI افزایش جرم نشان می‌دهند در حالی که اکسیدهای P_2O_5 , TiO_2 , Na_2O و SiO_2 ضمن دگرسانی از سامانه گرمایی خارج شده‌اند (شکل ۶-الف). حضور Mg در این زون دگرسانی ناشی از حضور آمفیبول و کلریتی شدن آن‌ها و تشکیل منیتیت‌های ثانویه در برخی از نمونه‌ها است. افزایش K_2O در این زون را می‌توان به حضور فلدسپار پتاسیم و تشکیل سریسیت مربوط دانست. کمترین میزان تغییرات جرم مربوط به اکسیدهای P_2O_5 و TiO_2 می‌باشد که ناشی از طبیعت نامتحرك آن‌ها است. افزایش K_2O و کاهش Na_2O را می‌توان به سوسوریتی شدن پلازیوکلازها نسبت داد. بدین صورت که در این دگرسانی سیلیکات‌های سدیم، کلسیم و منیزیم به وسیله سریسیت جایگزین می‌شوند این امر باعث شستشوی کاتیون‌های Na^+ و Ca^{2+} و کاهش آن‌ها می‌شود.

روش تعییرات جرم ایزوکن (گرانت، ۲۰۰۵)

بررسی ژئوشیمی دگرسانی‌های مختلف، تخمین کمی تعییرات جرم یا حجم ناشی از دگرسانی گرمایی را ممکن می‌سازد. از روش ایزوکن معمولاً برای محاسبه تعییرات متاسوماتیک ناشی از دگرسانی‌های گرمایی استفاده می‌شود (Grant, 2005). گرانت روش ساده‌ای را برای بررسی تعییرات جرم عناصر پیشنهاد کرد که در آن می‌توان به آسانی تعییرات جرم عناصر را طی دگرسانی از روی نموداری به نام ایزوکن اندازه‌گیری کرد (Grant, 1986). شکل عمومی معادله گرانت که برای اندازه‌گیری تغییرات جرم عناصر طی دگرسانی‌های مختلف در این کانسار استفاده شد به صورت رابطه (۱) می‌باشد:

$$\Delta C_i/C_i^0 = (C_{Al_2O_3}^0/C_{Al_2O_3}^A) (C_{i}^A/C_i) - 1 \quad (1)$$

در این رابطه، C_i^A = درصد وزنی اکسید یا عنصر در سنگ دگرسان، $C_{Al_2O_3}^0$ = درصد وزنی Al_2O_3 در سنگ سالم یا کمتر دگرسان شده، $C_{Al_2O_3}^A$ = درصد وزنی Al_2O_3 در سنگ دگرسان، i = درصد وزنی اکسید یا عنصر در سنگ سالم یا کمتر دگرسان شده و $\Delta C_i/C_i^0$ = تغییرات جرم عنصر یا اکسید در طول دگرسانی است. گرانت با قراردادن سنگ‌های دگرسان در مقابل سنگ‌های مادر سالم و رسم نمودارهای ایزوکن، تغییرات عناصر را در طول دگرسانی‌های مختلف شناسایی کرد. خط ایزوکن معمولاً بهترین خطی است که از میان عناصری همچون Al , iT , rZ , Hf , Nb عبور می‌کند که معمولاً در طی فرآیندهای دگرسانی به صورت نامتحرك رفتار می‌کند (Litch and Lentz, 1994; Cail and Cline, 2001). با توجه به انحلال کم و تغییرات پایین Al_2O_3 در سنگ‌های نسبتاً دگرسان شده در مقایسه با بسیاری اجزای کمیاب نامتحرك، ثبات شیمیایی Al_2O_3 در طی فرآیندهای دگرسانی و هوازدگی، غلظت بالای آن و روش تجزیه آسان، از Al_2O_3 به عنوان جزء ناظر نامتحرك، برای محاسبه تعییرات جرم عناصر طی دگرسانی‌های مختلف در این کانسار استفاده شد. بعد از رسم خط ایزوکن، عناصری که در بالای خط ایزوکن رسم می‌شوند در طول متاسوماتیسم افزایش جرم داشته‌اند و عناصری که زیر خط ایزوکن رسم می‌شوند در طول دگرسانی از سنگ شسته



شکل ۵. الف) نمودار ایزوکن برای عناصر اصلی و کمیاب در زون دگرسانی پروپیلیتیک در کانسار اسپید، ب) نمودار ایزوکن برای عناصر اصلی و کمیاب در زون دگرسانی آرژیلیک در کانسار آهن اسپید

جدول ۲. داده‌های تغییرات جرم عناصر مربوط به نمونه‌های برداشت شده از زون‌های دگرسانی مختلف در کانسار آهن اسپید.
(مقادیر بر حسب درصد و با فرض نامتحرك بودن Al_2O_3 محاسبه و ارائه شده است)

Sample	Propylitic Alteration			Argillic Alteration		
	Fresh Rock	Altered Rock	Δci (wt.% or ppm)	Fresh Rock	Altered Rock	Δci (wt.% or ppm)
SiO ₂	60.93	57.03	-3.90	60.93	61.78	+0.43
Al ₂ O ₃	15.51	16.12	+0.61	15.51	15.62	+0.11
CaO	8.5	6.6	-1.90	8.5	5.28	-3.25
MgO	2.79	3.25	+0.46	2.79	2.15	-0.65
Fe ₂ O ₃	4.99	8.95	+3.96	4.99	3.47	-1.52
TiO ₂	0.71	0.61	-0.10	0.71	0.49	-0.22
Na ₂ O	3.25	2.95	-0.30	3.25	4.24	+1.07
K ₂ O	0.84	1.76	+0.92	0.84	2.68	+1.84
P ₂ O ₅	0.11	0.21	+0.10	0.11	0.27	+0.16
LOI	2.14	2.51	+0.37	2.14	1.81	-0.34
Ba	248.25	526.75	+278.50	248.25	620	+367.48
Ce	24.75	24	-0.75	24.75	27.75	+3.00
Co	16.85	20.15	+3.30	16.85	13.5	-3.35
Cr	12.5	7.5	-5.00	12.5	7.25	-5.25
Cs	0.88	0.68	-0.20	0.88	0.38	-0.50
Cu	9.25	23.5	+14.25	9.25	11.5	+2.25

ادامه جدول .۲

Sample	Propylitic Alteration				Argillic Alteration		
	Fresh Rock	Altered Rock	Δci (wt.% or ppm)	Fresh Rock	Altered Rock	Δci (wt.% or ppm)	
Dy	۲/۷۶	۲/۶۸	۰/۱۷-	۲/۷۶	۲/۶۱	۰/۱۷-	
Er	۱/۵۹	۱/۵۴	۰/۱۱-	۱/۵۹	۱/۴۸	۰/۱۲-	
Eu	۰/۸۱	۰/۹۵	۰/۱۱	۰/۸۱	۰/۹	۰/۰۹	
Gd	۲/۱۸	۲/۱۹	۰/۰۷-	۲/۱۸	۲/۱۷	۰/۰۳-	
Hf	۰/۸۴	۰/۹۹	۰/۱۱	۰/۸۴	۰/۹۳	۰/۰۹	
K	۳۷۸۴/۵	۱۱۰۸۰/۷۵	۶۸۸۰/۳۱	۳۷۸۴/۵	۱۱۸۳۹	۷۹۷۳۰/۲	
La	۱۰/۲۵	۱۰/۲۵	۰/۳۸-	۱۰/۲۵	۱۱/۵	۱/۱۷	
Lu	۰/۲	۰/۲	۰/۰۱-	۰/۲	۰/۱۹	۰/۰۱-	
Mn	۸۶۴	۱۵۰۹/۷۵	۵۸۹۰/۸	۸۶۴	۱۰۶۹۸۵	۱۹۷/۸۹	
Nb	۵/۱۵	۵/۰۵	۰/۲۹-	۵/۱۵	۵/۸۳	۰/۶۳	
Nd	۱۰/۴۸	۱۰/۰۳	۰/۰۸۳-	۱۰/۴۸	۱۱/۳	۰/۰۷۵	
Ni	۶/۲۵	۱۲	۵/۳	۶/۲۵	۱/۸۸	۴/۳۹-	
Pb	۳/۳۸	۱۱	۷/۲۱	۳/۳۸	۳/۳۸	۰/۰۲-	
Pr	۱/۴۳	۱/۳۲	۰/۱۵-	۱/۴۳	۱/۷۱	۰/۰۲۷	
Rb	۸/۷۵	۲۲/۷۵	۱۳/۱۵	۸/۷۵	۳۰	۲۱۰۴	
Sc	۱۱/۸۵	۱۱/۷۸	۰/۰۵۲-	۱۱/۸۵	۷/۲۸	۴/۶۳-	
Sm	۲/۳۲	۲/۳۶	۰/۰۵-	۲/۳۲	۲/۵	۰/۱۷	
Sn	۳/۲۵	۲/۶	۰/۰۷۵-	۳/۲۵	۳/۸۵	۰/۰۵۷	
Sr	۴۰/۱۶۳	۳۵۵۰/۴۳	۵۹/۵۴-	۴۰/۱۶۳	۳۴۲/۳۳	۶۱/۶۶-	
Ta	۰/۰۹	۰/۰۵	۰/۰۶-	۰/۰۹	۰/۰۸	۰/۰۰-	
Tb	۰/۰۴۴	۰/۰۴۴	۰/۰۲-	۰/۰۴۴	۰/۰۴۲	۰/۰۰۳-	
Th	۲/۲۵	۱/۸۳	۰/۰۴۹-	۲/۲۵	۳/۲۱	۱/۰۳	
Ti	۴۰۲۲/۲۵	۴۲۵۸	۷۵/۹۲	۴۰۲۲/۲۵	۳۱۴۸/۷۵	۸۹۵/۱۷-	
Tm	۰/۰۲۴	۰/۰۲۵	۰/۰۱-	۰/۰۲۴	۰/۰۲۳	۰/۰۲-	
U	۰/۰۸	۰/۰۴۵	۰/۰۱۵-	۰/۰۸	۰/۰۷۳	۰/۰۱۵	
W	۵۷/۷۳	۴۹/۴۳	۱۰/۱۶-	۵۷/۷۳	۵۲/۱۵	۵۹۳-	
Y	۱۴/۹۵	۱۵/۲۵	۰/۰۲۷-	۱۴/۹۵	۱۴/۲۵	۰/۰۸-	
Yb	۱/۰۸	۱/۶	۰/۰۶-	۱/۰۸	۱/۰۳	۰/۰۱۶-	
Zn	۵۹	۱۱۸/۵	۵۵/۰۵	۵۹	۷۴/۲۵	۱۴/۷۴	
Zr	۲۶/۷۵	۳۳/۷۵	۰/۰۷۳	۲۶/۷۵	۲۷/۲۵	۰/۰۳۲	

ممکن است به دلیل غیر متحرک بودن این عنصر در طول دگرسانی باشد. عنصر Y معمولاً در دگرسانی‌های دما بالا از سیستم دگرسانی خارج می‌شود (Lopez et al., 2005). تهی شدگی این عنصر احتمالاً در اثر دگرسانی آمفیبول خارج شده‌اند (شکل ۶-ب). کاهش Sr به دلیل دگرسان شدن پلاژیوکلازها و تشکیل کانی‌های جدید حاوی کلسیم از جمله اپیدوت و تیتانیت است. همچنین افزایش Ba در این زون دگرسانی نیز ناشی از حضور سریسیت در این سنگ‌ها می‌باشد.

عناصر با قدرت میدان بالا (HFSE): تمامی عناصر HFSE بهجز Zr و Hf کاهش جرم نشان می‌دهند (شکل ۶-پ). از دلایل غنی‌شدگی Zr می‌توان به مقاومت بالای این کانی در برابر دگرسانی و باقی ماندن این کانی در سنگ‌های دگرسان شده اشاره کرد. تغییرات با اهمیتی در عنصر Hf بین سنگ‌های دگرسان شده و سالم به نظر نمی‌رسد. این

عناصر لیتوفیل درشت‌یون (LILE): طی دگرسانی پروپیلیتیک، Ba و Rb افزایش جرم و عناصر Sr و Cs و دچار کاهش جرم شده و به دلیل طبیعت متحرک خود از سیستم خارج شده‌اند (شکل ۶-ب). کاهش Sr به دلیل دگرسان شدن پلاژیوکلازها و تشکیل کانی‌های جدید حاوی کلسیم از جمله اپیدوت و تیتانیت است. همچنین افزایش Ba در این زون دگرسانی نیز ناشی از حضور سریسیت در این سنگ‌ها می‌باشد.

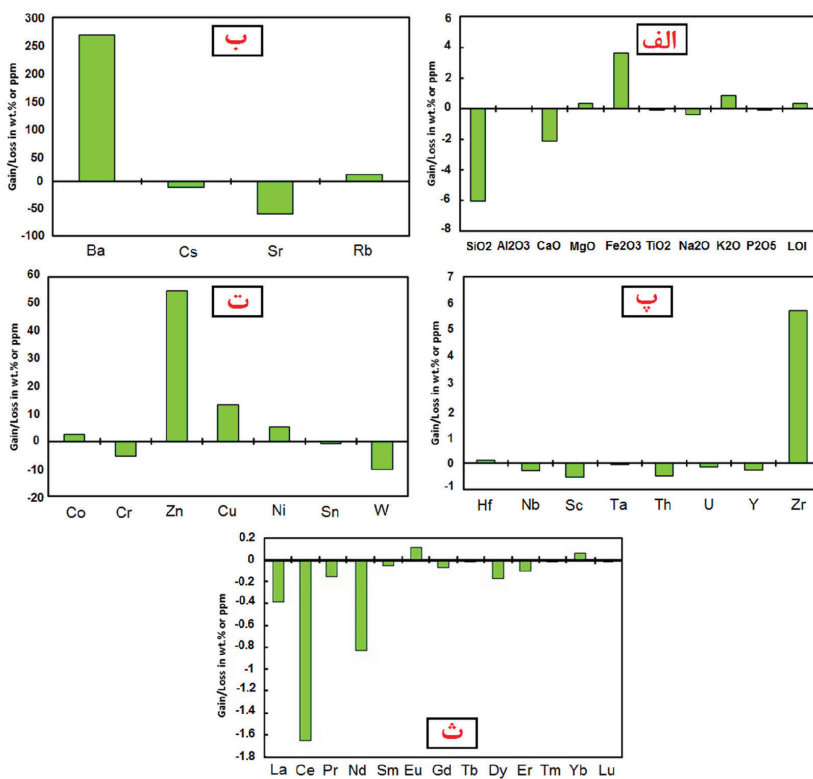
عناصر با قدرت میدان بالا (HFSE): تمامی عناصر HFSE بهجز Zr و Hf کاهش جرم نشان می‌دهند (شکل ۶-پ). از دلایل غنی‌شدگی Zr می‌توان به مقاومت بالای این کانی در برابر دگرسانی و باقی ماندن این کانی در سنگ‌های دگرسان شده اشاره کرد. تغییرات با اهمیتی در عنصر Hf بین سنگ‌های دگرسان شده و سالم به نظر نمی‌رسد. این

۶-ث). از دلایل غنی‌شدن بدخی از REE‌ها می‌توان به وجود کانی‌های آپاتیت و تیتانیت و حضور کانی زیرکن که همگی میزان مناسبی برای این عناصر می‌باشند اشاره کرد. سیالات مسئول دگرسانی پروپیلیتیک به‌گونه‌ای عمل نموده‌اند که اکثر عناصر REE را از محیط شسته و منجر به کاهش جرم شده‌اند. عقیده بر این است که در محلول‌های غنی از CO_2 ، عناصر نادر خاکی متوجه شده و از سنگ خارج می‌شوند (Wendlandt, 1979). تحرک REE در این زون دگرسانی به علت شرایط pH بالاتر و نسبت آب به سنگ پایین‌تر در این زون دگرسانی می‌باشد (Fulignati et al., 1998) Ce. در این زون دگرسانی به شدت کاهش جرم نشان می‌دهد که این بدان معناست که بخشی از Ce با ظرفیت $^{3+}$ و درنتیجه پتانسیل یونی کمتر و قدرت تحرک بیشتر به همراه دیگر REE‌ها از محیط شسته و خارج شده است. افزایش اندک در میزان Eu در طی دگرسانی ناشی از پیش رفتن شرایط محیطی به سمت اکسیدان است که Eu به Eu^{3+} تبدیل شده و در ساختار کانی‌های دگرسان ثابت شده است.

دگرسانی، یک روند افزایشی نشان می‌دهند (Salvi and Williams Jones, 1996) Y و Sr به کاهش در میزان کلسیم (خروج Ca از ساختار پلازیوکلاز) و افزایش در میزان Ba به افزایش پتابسیم نسبت داده می‌شود (Mason and Moore, 1982).

عناصر فلزی انتقالی (FTSM): عناصری از جمله Sn، Cr و W در اثر این دگرسانی از سامانه گرمابی خارج شده‌اند و چار کاهش جرم شده‌اند و باقی این عناصر از جمله Ni، Co و Cu، Zn به میزان‌های متفاوت افزایش جرم نشان می‌دهند (شکل ۶-ت).

عناصر نادر خاکی (REE): تمامی LREE‌ها از جمله Pr، Ce، La و Nd به شدت چار کاهش جرم شده‌اند. MREE‌ها از جمله Tb، Gd، Sm و Dy کاهش جرم و عنصر HREE‌ها از جمله Eu و Lu به مقدار خیلی کم چار کاهش جرم و عنصر Yb و Er به مقدار خیلی کم چار کاهش جرم شده است. عنصر Tm هم هیچ‌گونه تغییری نشان نمی‌دهد و به صورت نامتحرك عمل می‌کند (شکل



شکل ۶. نمودارهای تغییرات جرم عناصر در زون دگرسانی پروپیلیتیک. (الف) تغییرات جرم اکسیدهای اصلی، (ب) تغییرات جرم عناصر LILE، (پ) تغییرات جرم عناصر HFSE، (ت) تغییرات جرم عناصر FTSM، (ث) تغییرات جرم عناصر REE.

شده‌اند و باقی این عناصر از جمله Cu، Sn و Zn افزایش جرم نشان می‌دهند (شکل ۷-ت). Ni و Co از دید بار و شعاع یونی همانند Mg و Fe است و در سنگ‌ها در ساختمان کانی‌های مافیک قرار می‌گیرند. با توجه به تهی شدگی Ni و Co در طی فرایند دگرسانی می‌توان شستشوی اسیدی و تخریب کانی‌های مافیک را عامل این تهی شدگی در نظر گرفت.

عناصر نادر خاکی (REE): در این زون دگرسانی عناصر نادر خاکی رفتارهای متفاوتی بروز می‌دهند. به طوری که تمامی LREE‌ها از جمله Nd، Ce، La و Pr بهشت دچار غنی‌شدگی شده‌اند. MREE‌ها از جمله Gd، Tb، Dy و Eu کاهش جرم و عنصر Sm افزایش جرم نشان می‌دهد. HREE‌ها از جمله Er و Lu، Tm، Yb و Kاهش چرم نشان داده و از سیستم خارج شده‌اند (شکل ۷-ث).

سیالات مسبب دگرسانی آرژیلیک مسئول کاهش جرم این عناصر و شسته شدن آن‌ها از محیط می‌باشند. غنی‌شدگی LREE نسبت به HREE در این زون دگرسانی به خوبی قابل مشاهده است. فراوانی کمپلکس یونی SO_4^{2-} در سیال هیدروترمال و متلاشی شدن کانی‌های اولیه درنتیجه pH پایین محیط، منجر به تهی شدگی برخی از عناصر REE در این زون شده است (Fulignati et al., 1998).

از دلایل غنی‌شدگی برخی از REE‌ها در این زون می‌توان به تشکیل کانی‌های فرعی که میزان مناسبی برای این عناصر می‌باشند اشاره کرد. تشکیل کانی‌های رسی به علت هیدرولیز شدید سیلیکات‌های آلومینیوم‌دار و فروشوبی اسیدی در زون دگرسانی آرژیلیک، منجر به خروج HREE‌ها در نمونه‌های دگرسان نسبت به نمونه‌های سالم شده است. افزایش جرم در این سنگ‌ها ناشی از اکسیداسیون Ce^{4+} به Ce^{3+} در طول سریسیتی شدن می‌باشد.

شاخص شیمیایی دگرسانی (CIA)

به منظور ارزیابی شدت دگرسانی گرمابی در کانسار اسکارن آهن اسپید از شاخص شیمیایی دگرسانی (CIA) که به صورت رابطه 3 قابل محاسبه است، استفاده شد (Nessbitt and Young, 1982; Fedo et al., 1995).

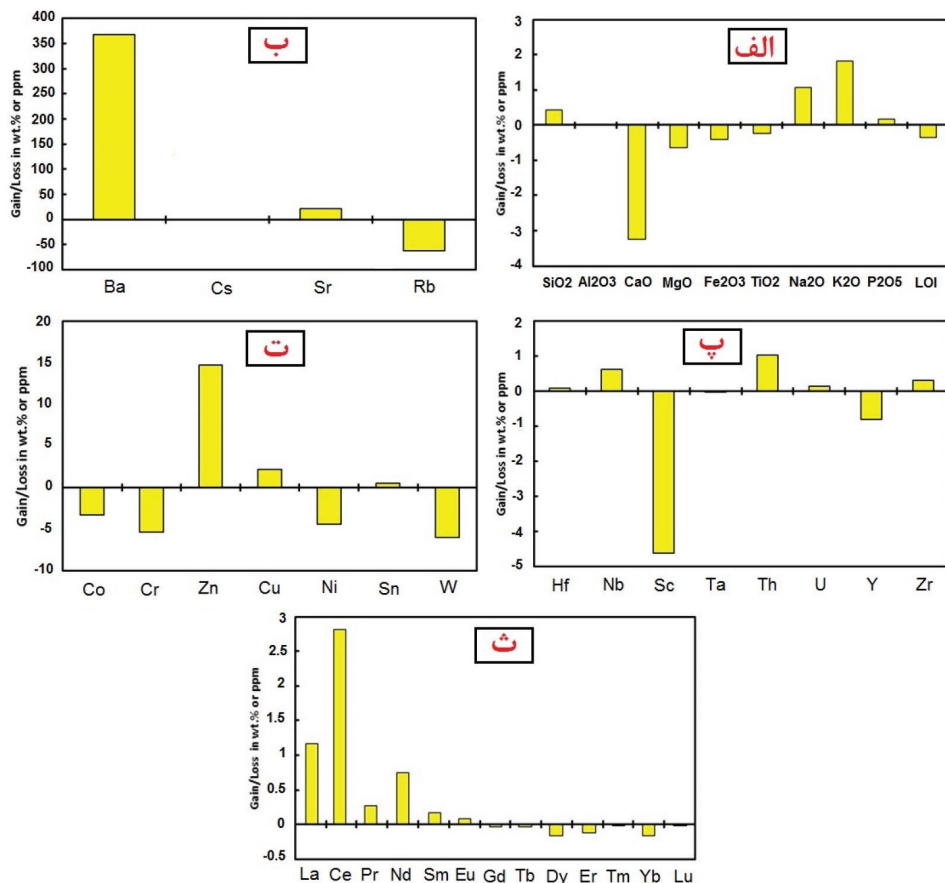
تغییرات جرم عناصر طی دگرسانی آرژیلیک

اکسیدهای اصلی: طی فرایند دگرسانی آرژیلیک در کانسار اسپید اکسیدهای P_2O_5 ، SiO_2 ، K_2O ، Na_2O به‌وسیله شاره‌های گرمابی به سیستم دگرسانی وارد شده‌اند و در مقابل اکسیدهای TiO_2 ، Fe_2O_3 ، MgO ، CaO و LOI ضمن دگرسانی از سامانه گرمابی خارج شده‌اند (شکل ۷-الف). افزایش Na در این زون می‌تواند ناشی از اسیدی شدن پلاژیوکلازا و آلبیتی شدن آن‌ها باشد. کمترین میزان تغییرات جرم در این زون دگرسانی نیز مربوط به اکسیدهای TiO_2 و P_2O_5 می‌باشد که ناشی از ماهیت نا متحرک آن‌ها می‌باشد. کاهش اکسیدهای Fe_2O_3 و MgO ناشی از دگرسان شدن کانی‌های فرومنیزین از جمله آمفیبیول و آزاد شدن Fe در محلول‌های دگرسان کننده و خروج از محیط باشد.

عناصر لیتوفیل درشت یون (LILE): طی دگرسانی آرژیلیک، Ba و Sr نسبت به سنگ اولیه غنی‌شدگی و عنصر Rb تهی شدگی نشان می‌دهد و عنصر Cs به صورت نامتحرک عمل نموده است و دچار هیچ‌گونه تغییر جرمی طی دگرسانی آرژیلیک نشده است (شکل ۷-ب). علت کاهش Sr در این زون می‌تواند ناشی از تخریب فلذسپارها و آزاد شدن Sr به درون محلول دگرسان کننده باشد. همچنین افزایش Ba در این زون دگرسانی نیز ناشی از حضور سریسیت در این سنگ‌ها است.

عناصر با قدرت میدان بالا (HFSE): در این زون تمامی عناصر HFSE به جز Y و Sc افزایش جرم نشان می‌دهند (شکل ۷-پ). در میان عناصر HFSE، عنصر Th و U وارد سامانه دگرسانی شده است و افزایش جرم نشان می‌دهد. در صورتی که عنصر Sc بهشت دچار تهی شدگی شده است. غنی‌شدگی U در این زون می‌تواند به دلیل جذب سطحی توسط کانی‌های رسی و روبش و تمرکز توسط اکسیدهای آهن باشد (Barnett et al., 2000). تهی شدگی Y به میزان اسیدیته محلول گرمابی وابسته است که می‌تواند به دلیل شرایط اسیدی سیال گرمابی در سامانه دگرسانی باشد (Kabata and Pendias, 1992; Taboada et al., 2006).

عناصر فلزی انتقالی (FTSM): عناصری از جمله Cr، Ni، Co و W در اثر دگرسانی از سامانه گرمابی خارج



شکل 7. نمودارهای تغییرات جرم عناصر در زون دگرسانی آرژیلیک. الف) تغییرات جرم اکسیدهای اصلی، ب) تغییرات جرم عناصر LILE، پ) تغییرات جرم عناصر HFSE، ت) تغییرات جرم عناصر REE.

نتیجه‌گیری

مطالعات نشان می‌دهد که در منطقه اسپید، توده نفوذی دیوریتی-مونزودیوریتی به درون سنگ‌های آتش‌فشاری (عمدتاً توفهای آهکی) نفوذ کرده است و باعث ایجاد دگرسانی و به تبع آن اسکارن زایی آهن شده است. داده‌های پتروگرافی و زئوژیمیابی حاکی از آن است که سنگ‌های منطقه تحت تأثیر دگرسانی‌های پروپیلیتیک و آرژیلیک قرار گرفته‌اند. در زون دگرسانی پروپیلیتیک در اثر محلول‌های غنی از CO₂, Er, Lu, Dy, Tb, Gd, Sm, Nd, Pr, Ce عناصر La, Zn, Rb, Ba, Cu, Ni و Zr وارد سامانه گرمایی شده‌اند. این تغییرات جرم، ناشی از شرایط pH بالاتر و نسبت سنگ به آب پایین‌تر در این زون دگرسانی می‌باشد. در مراحل بعدی، در طول دگرسانی آرژیلیک به دلیل حضور کمپلکس

$$CIA = \frac{Al_2O_3}{(Al_2O_3 + Na_2O + K_2O + CaO)} \quad (3)$$

به‌طورکلی فرایندهای هوازدگی و دگرسانی منجر به کاهش عناصر قابل حل و افزایش مقدار CIA می‌شوند. در نتیجه با افزایش CIA مقدار Al₂O₃ افزایش و مقدار اکسیدهای ناپایدار شیمیابی از جمله Na₂O, CaO, K₂O و CIA می‌یابد (Fedot et al., 1995). مقدادر CIA مربوط به زون‌های مختلف دگرسانی در کانسار آهن اسپید اندازه‌گیری شد که بر این اساس مقدار CIA محاسبه شده برای دگرسانی پروپیلیتیک برابر با ۵۸/۷۶ درصد و برای دگرسانی آرژیلیک برابر با ۵۵/۹۴ درصد می‌باشد. شاخص شیمیابی دگرسانی محاسبه شده برای زون‌های مختلف دگرسانی در کانسار آهن اسپید حاکی از این است که دگرسانی پروپیلیتیک نسبت به دگرسانی آرژیلیک با شدت بیشتری سنگ‌های منطقهمعدنی اسپید را تحت تأثیر قرار داده است.

علوم، دانشگاه تهران، ۱۶۸.

- Amidi, S. M., 1975. Contribution a' l'étude stratigraphique, petrologique et petrographique des roches magmatiques de la region Natanz-Nain-Surk (Iran central). PhD thesis, University of Grenoble France, 237.
- Barnett, M., Jardine, P.M., Brook, S.C. and Selim, H.M., 2000. Adsorption and transport of U (VI) in subsurface media. Soil Science Society of American Journal, 68, 908-914.
- Cail, T.L. and Cline, J.S., 2001. Alteration associated with gold deposition Carlin-type at gold Getchel deposit, north-central Nevada. Economic Geology 96, 1343-1359.
- Chappel, B.W. and White, A.J.R. 2001. Two contrasting granite types. Journal of Earth Science, 48, 489-499.
- Chiu, H. Y., Chung, S. L., Zarrinkoub, M. H., Mohammadi, S. S., Khatib, M. M. and Iizuka, Y. 2013. Zircon U-Pb age constraints from Iran on the magmatic evolution related to Neotethyan subduction and Zagros orogeny. Lithos, 162, 70-87.
- Cox, K. G. and Bell, J. D. and Pankhurst, R.G., 1979. The Interpretation of Igneous Rocks. London, George Allen & Unwin, 450.
- Dargahi, S., Arvin, M., Pan, Y. and Bae, A., 2010. Petrogenesis of post-collisional A-type granitoids from the Urumieh-Dokhtar magmatic assemblage, South western Kerman, Iran: Constraints on the Arabian-Eurasian continental collision: Lithos, 115, 190-204.
- Emami, M.H., 1981. Géologie de la région de Qom-Aran (Iran): Contribution a l'étude dynamique et géochimique du volcanisme Tertiaire de l'Iran Central. Ph.D., Thèse, University of Grenoble, France, 489.

بیوئی SO_4^{2-} در سیال هیدرولیکال و متلاشی شدن کانی‌های اولیه در نتیجه pH پایین محیط، عناصر Co, Mg, Fe و Ti و شستشو یافته و از سیستم دگرسانی خارج شده‌اند و در مقابل عناصر Ca, W, Cr, Ni Pr, Ce, La, Sr, Ba وارد سامانه گرمابی شده‌اند. لذا با استفاده از روش موازن جرم می‌توان نتیجه گرفت که روند تغییرات اکسیدهای اصلی، عناصر کمیاب و نادر خاکی یا به طور کلی روندهای شیمیایی در زون‌های دگرسانی به چه شکل بوده و با توجه به این تغییرات اهداف اکتشافی و بخش‌های مناسب جهت کارهای اکتشافی کم‌هزینه را مشخص کرد. به عنوان مثال در کانسار آهن اسپید بر پایه مطالعات تغییرات جرم، تمرکز عناصر Fe و Mg و کانه‌زایی آهن در زون دگرسانی پروپیلیتیک کانسار حداکثر است و به سمت حاشیه کانسار از غلظت آن کاسته می‌شود. همچنین با توجه به آثار کانه‌زایی و همراهی ماده معنی با زون پروپیلیتیک در کانسار آهن اسپید، می‌توان کانه‌زایی آهن را مرتبط با این دگرسانی متصور شد؛ بنابراین شناخت این تغییرات و محل آن‌ها می‌تواند در هدایت کارهای اکتشافی و افزایش عیار و برداشت ماده معنی مؤثر باشد.

قدرتمندی

بدین وسیله از خانم مهندس شیما افخمی و دکتر مجتبی رحیمی شهید به خاطر همکاری صمیمانه و همچنین مدیریت محترم سازمان توسعه و نوسازی معدن و صنایع معدنی ایران (IMIDRO) به دلیل حمایت مالی از این پژوهش صمیمانه سپاسگزاری می‌شود.

منابع

- حاجیان، ج.، ۱۳۷۰. نقشه زمین‌شناسی ۱/۱۰۰۰۰۰ تفرش. سازمان زمین‌شناسی و اکتشافات معدنی کشور. تهران.
- سعادتمند، س. م.، ۱۳۹۰. گزارش طرح اکتشافی کانسار آهن اسپید. سازمان صنعت، معدن و تجارت استان قم، ۸۲.
- کرمیان، م. ح.، ۱۳۹۴. مطالعه ژئوکانسار آهن اسپید با استفاده از تلفیق داده‌های ژئوشیمیایی، ژئوفیزیکی و سنجش‌نامه. پایان‌نامه کارشناسی ارشد، دانشکده

- Fedo, C. M., Nesbitt, H.W. and Young, G.M., 1995. Unraveling the effects of potassium metasomatism in sedimentary rocks and paleosols, with implications for paleoweathering conditions and provenance, *Geology*, 23, 921-924.
- Forster, H., 1978. Mezozoic-Cenozoic metallogenesis in Iran: *Journal of the Geological Society*, 135, 443-445.
- Fulignati, P., Gioncada, A. and Sbrana, A., 1998. Rare earth element behaviour in the alteration facies of the active magmatic-hydrothermal system of Volcano (Aeolian Islands, Italy). *Journal of Volcanology and geothermal research*, 88, 325-342.
- Ghorbani, M. R., and Bezenjani, R. N. 2011. Slab partial melts from the metasomatizing agent to adakite, Tafresh Eocene volcanic rocks, Iran. *Island Arc*, 20, 188-202.
- Ghorbani, M.R., Graham, I.T. and Ghaderi, M., 2014. Oligocene Miocene geodynamic evolution of the central part of Urumieh-Dokhtar Arc of Iran. *International Geology Review*, 56,8, 1039-1050.
- Gifkins, C., Herrmann, W. and Large, R., 2005. Altered Volcanic Rocks: A guide to description and interpretation. University of Tasmania, Centre for Ore Deposits and Exploration Studies, Hobart, 287.
- Gill, R., 2010. Igneous Rocks and Processes: a practical guide. John Wiley and Sons Ltd, 472.
- Grant, J. A., 1986. The isocon diagram-a simple solution to Gresens equation for metasomatic alteration. *Economic Geology*, 81, 1976-1982.
- Grant, J. A., 2005. Isocon analysis: A brief review of the method and applications. *Physics and Chemistry of the Earth*, 30, 997-1004.
- Green, P. E., 1980. On the cause of the shortening of spontaneous fission tracks in certain minerals. *Nuclear Tracks*, 4, 91-100.
- Haschke, M., Ahmadian, J. and McDonald, I., 2010. Copper mineralization prevented by arc-root delamination during Alpine-Himalayan collision in central Iran: *Economic Geology*, 105, 855-865.
- Honarmand, M., Omran, N.R., Corfu, F., Emami, M.H. and Nabatian, G., 2013. Geochronology and magmatic history of a calc-alkaline plutonic complex in the Urumieh-Dokhtar Magmatic Belt, Central Iran: zircon ages as evidence for two major plutonic episodes. *Neues Jahrbuch für Mineralogie-Abhandlungen: Journal of Mineralogy and Geochemistry*. 190,1, 67-77.
- Honarmand, M., Rashidnejad Omran, N., Neubauer, F., Hashem Emami, M., Nabatian, G., Liu, X., Dong, Y., von Quadt, A. and Chen, B. 2014. Laser-ICP-MS U-Pb zircon ages and geochemical and Sr-Nd-Pb isotopic compositions of the Niyasar plutonic complex, Iran: constraints on petrogenesis and tectonic evolution. *International Geology Review*, 56,1, 104-132.
- Irvine, T. N. and Baragar, W. R. A., 1971. A guide to the chemical classification of the common volcanic rocks, *Canadian Journal of Earth Sciences* 8, 523-548.
- Jiang, S. Y., Wang, R. C. Xu, X. S. and Zhao, K. D., 2005. Mobility of high field strength (HFSE) in magmatic metamorphic, and submarine hydrothermal systems, *Physics and Chemistry of the Earth*, 30, 1020-1029.
- Jung, D., Kursten, M. and Tarkian, M., 1975. Post Mesozoic volcanism in Iran and its relation to the subduction of the Afro-Arabian under

- the Eurasian plate. In: pilger, A., and Rosler, A., (edts), afar between continental and oceanic rifting, I.G.C. scient. Report, 116,2, 175-181
- Kabata, A. and Pendias, H., 1992. Trace Elements in Soils and Plants. 2nd Edition, CRC Press, Boca Raton, Florida, 315.
 - Kananian, A., Sarjoughian, F., Nadimi, A., Ahmadian, J. and Ling, W., 2014. Geochemical characteristics of the Kuh-e Dom intrusion, Urumieh-Dokhtar magmatic arc (Iran): implications for source regions and magmatic evolution. *Journal of Asian Earth Sciences* 90, 137-148.
 - Kretz R. 1994. Metamorphic Crystallization. John Wiley and Sons Ltd, 507.
 - Leitch, C. H. B. and Lentz, D. R., 1994. The Gresens approach to mass balance constraints of alteration systems: Methods, pitfalls, examples, in alteration processes associated with ore forming systems: Edited by D. R. Lentz: Geological Association of Canada: Short Course Notes, 11, 11-192.
 - Ling, S., Wu, X., Zhao, S., Liao, X., Ren, Y. and Zhu, B., 2014. Geochemical Mass Balance and Elemental Transport during the Weathering of the Black Shale of Shuijingtuo Formation in Northeast Chongqing, China. *The Scientific World Journal*, 742-950.
 - Lopez, J. M. G., Bauluz, B., Nieto, C. F. and Oliete, A. Y., 2005. Factors controlling the trace elements distribution in fine-grained rocks: The Albian kaolinite-rich deposits of the Oliete basin (NE Spain).
 - Mason, B. and Moore, C.B., 1982. Principles of Geochemistry. John Wiley and Sons, New York, 344.
 - Monteiro, L. V. S., Bettencourt, J. S., Juliani, C. and Oliveira, T. F., 2007. Nonsulfide and sulfide-rich zinc mineralizations in the Vazante, Ambrósia and Fagundes deposits, Minas Gerais, Brazil: Mass balance and stable isotope characteristics of the hydrothermal alterations. *Gondwana Research*, 11, 362-381.
 - Mote, T. I., Brimhall, G. H., Tidy-Finch, E., Muller, G. and Carrasco, P., 2001. Application of Mass-Balance Modeling of Sources, Pathways, and Sinks of Supergene Enrichment to Exploration and Discovery of the Quebrada Turquesa Exotic Copper Orebody, El Salvador District, Chile, *Economic Geology*, 96,2, 367-386.
 - Nesbitt, H. W. and Young, G. M., 1982. Early proterozoic climates and plate motions inferred from major element chemistry of lutites. *Nature*, 279, 715-717.
 - Pearce, J. A., Haris, N. B. W. and Tindle, A. G. 1984. Trace element discrimination for the tectonic interpretation of granitic rocks. *Journal of Petrology* 25, 956-983.
 - Peccerillo, A., and Taylor S. R. 1976. Geochemistry of eocene calc-alkaline volcanic rocks from the Kastamonu area, Northern Turkey. *Contributions to Mineralogy and Petrology*, 58, 63-81.
 - Poma, S., Quenardelle, S., Litvak, V., Maisonnave, E.B. and Koukharsky, M., 2004. The Sierra de Maco'n, plutonic expression of the Ordovician magmatic arc, Salta Province Argentina. *Journal of South America Earth Science* 16, 1-11.
 - Salvi, S. and Williams Jones, A. E., 1996. The role of hydrothermal processes in concentration high field strength elements in the Strange Lake peralkaline complex, north eastern Canada. *Geochim. Cosmochim. Acta* 60, 1917-1932.
 - Shahabpour, J., 1999. The role of deep

structures in the distribution of some major ore deposits in Iran, NE of Zagros thrust zone: Journal of Geodynamics, 28, 237-250.

- Shand, S. J., 1943. Eruptive Rocks. Their Genesis, Composition, Classification, and their relation to Ore-Deposits with a chapter on Meteorite. New York: John Wiley and Sons.

- Taboada, T., Cortizas, A. M., Garcia, C. and Garcia-Rodeja, E., 2006. U and Th weathering and pedogenetic profiles developed on granitic rocks from NE Spain. Science of the total Environmental 356, 192-206.

- Takin, M., 1971. Iranian geology and Zeih continental drift Middle East. Geological Survey

of Iran.

- Wendlandt, R. F. and Harison, W. J., 1979. Rare earth partitioning between immiscible carbonate and rare earth enriched rocks. Contribution of Mineralogy and Petrology, 69, 409-419.

- White, N.C. and Hedenquist, J.F., 1995. Epithermal Gold Deposits: styles, characteristics, and exploration. SEG Newsletter 23, 9-13.

- Yeganehfar, H., Ghorbani, M. R., Shinjo, R. and Ghaderi, M. 2013. Magmatic and geodynamic evolution of Urumieh-Dokhtar basic volcanism, Central Iran: major, trace element, isotopic, and geochronologic implications. International Geology Review, 55, 6, 767-786.